

Библиотека ИИЭТФ  
№ 864 19XX 1082

## МАКРОКВАНТОВЫЕ СТРУКТУРЫ ТВЕРДЫХ ТЕЛ.

А.Ф. Охатрин, В.В. Касьянов, В.Ю. Татур

1

Впервые фотометодом обнаружены макроквантовые структуры вокруг твердых тел. Изучена их динамика, а также влияние на неё материала твердого тела, магнитного поля и экрана.

В данной работе проведены экспериментальные исследования регистрируемых фотометодом макроквантовых структур твердых тел.

Регистрация производилась в камере прямоугольного поперечного сечения, внутренние стенки которой были покрыты светопоглощающим слоем. В отверстие, сделанное в одном из её торцов, вводился объектив фотоаппарата. Вне камеры у противоположного её торца на расстоянии 13 см. от него помещали твердое тело (линейные размеры не более 2 см.), которое приводилось во вращение с максимальной скоростью 3500 об/мин. Ось вращения твердого тела была либо перпендикулярна, либо параллельна плоскости торца камеры. Две параллельные боковые её стенки имели щели 1 см., через которые пропускал коллимированный световой поток. Регистрация производилась на пленку 130 ед. ГОСТ с выдержкой 1 сек. через 13 - 25 сек. Твердое тело находилось на расстоянии 23 см. от плоскости, проходящей через щели камеры.

На рис. I представлена типичная фотография макроквантовых структур в виде концентрических колец, структура которых не зависит от ориентации оси вращения твердого тела относительно торца камеры, что, возможно, говорит об их сферическом виде. При скорости вращения тела ниже 800 об/мин. структуры не регистрировались. С возрастанием скорости вращения твердого тела увеличивалась интенсивность колец.

Из рис. 2, а - б видно, что диаметр колец является периодической функцией времени. Период колебаний структур для свинцового конуса при его вращении (рис. 2, а, в)  $\sim 43$  сек. После остановки образца в момент времени  $t_a$  (рис. 2, а) период колебаний становится  $\sim 83$  сек. и затем монотонно увеличивается до 260 сек. через 20 су-

ток ( рис. 2, б ). Для свинца постоянная затухания  $\tau \sim 6 \cdot 10^5$  сек. Амплитуда колебаний структур после выключения вращения твердого тела монотонно уменьшается ( рис. 3 ). Следует отметить, что исчезновение концентрических колец происходило в форме их размытия и образования светлого пятна с темным центром, которое затем также исчезало.

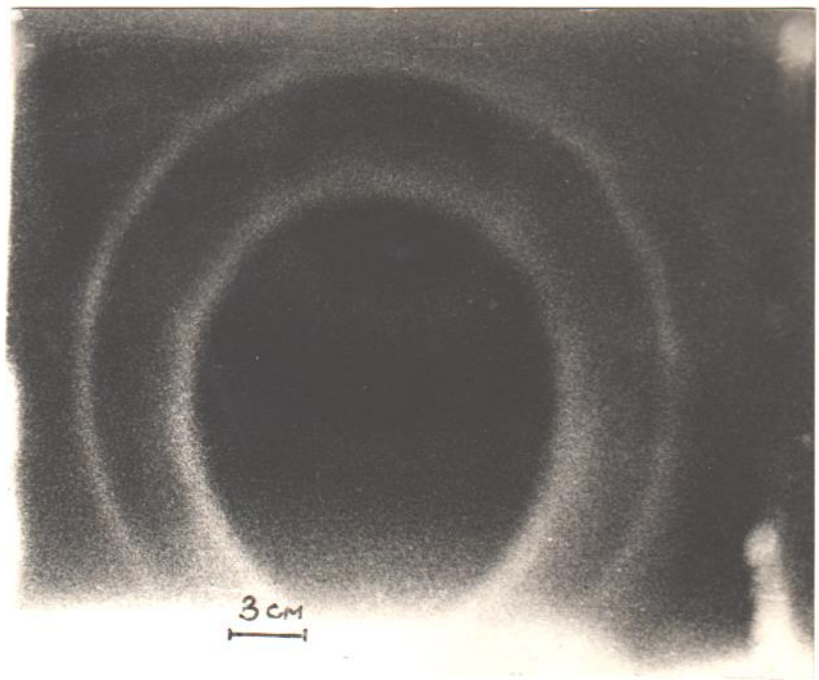
Поведение и характерные размеры макроквантовых структур для никеля при его вращении значительно отличались от поведения и размера структур свинца. ( рис. 2, в ). Колебания колец для никеля начинаются через 270 сек., хотя появляются они практически сразу. Среднее значение диаметра первого кольца для никеля в течение его колебаний меньше соответствующего начального диаметра структур для свинца в 3 раза. Период колебаний для никеля  $\sim 50$  сек. Таким образом, в случае свинца и никеля форма и характер колебаний структур зависят от материала твердого тела.

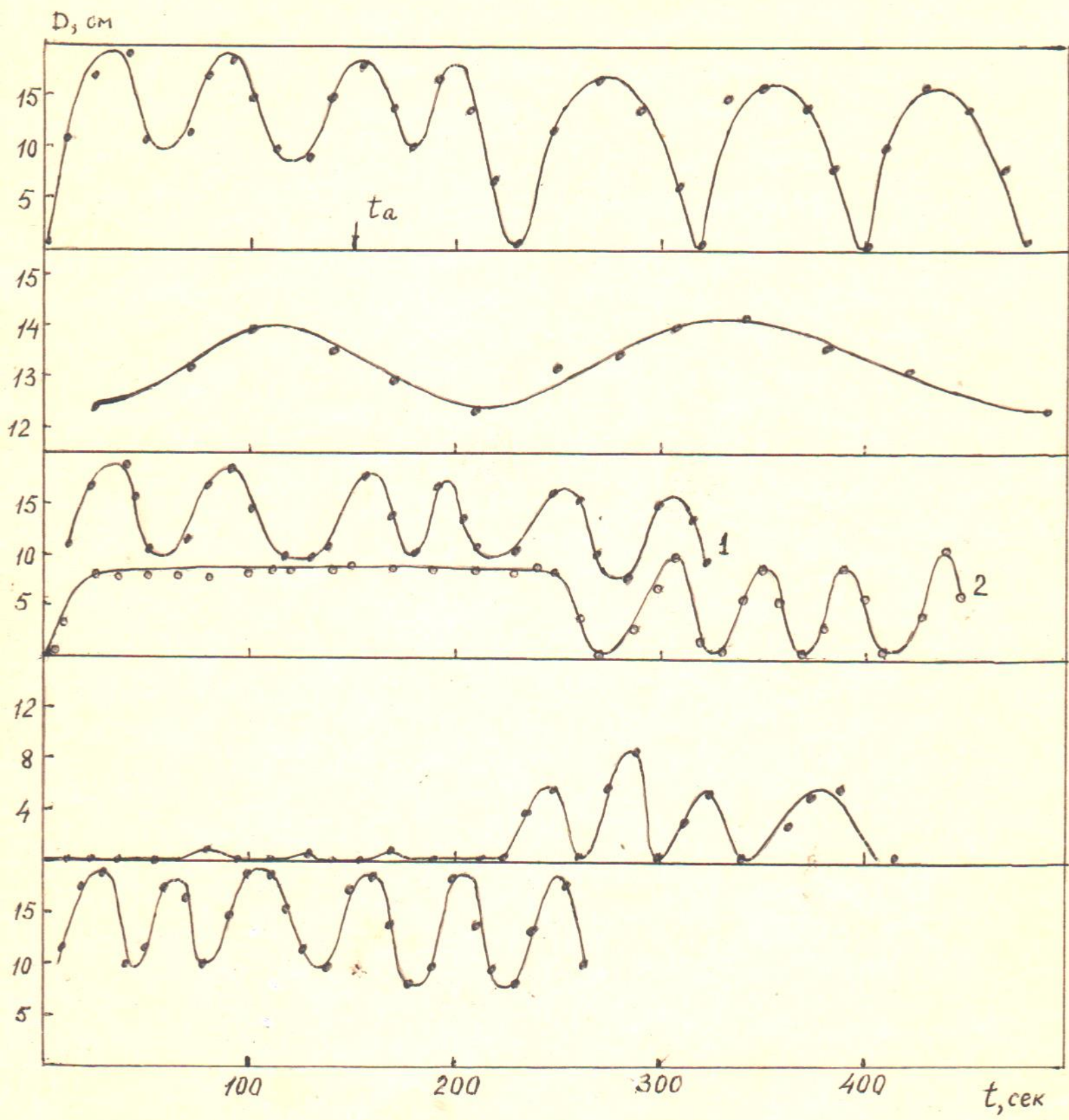
Помещение между камерой и вращающимся свинцовым конусом латунного экрана толщиной 11 см. приводит к задержке в появлении структур на 220 сек., а также к уменьшению их среднего диаметра более чем в 3 раза ( рис. 2, г ).

Из рис. 2, д видно, что магнитное поле оказывает существенное влияние на динамику структур. Период колебаний для свинцового конуса в магнитном поле  $\sim 33$  сек.

Макроквантовые структуры возникают не только в результате вращения твердого тела, но также фиксируются и вокруг неподвижных объектов, предварительно помещенным на 2 – 3 часа в поле полосового магнита с индукцией 0,03 Тл. Полосовой магнит имеет статические макроквантовые структуры.

Дать однозначное объяснение физической природы регистрируемых структур в настоящее время затруднительно. Авторы будут благодарны за практический и теоретический интерес к результатам приведенных экспериментов.



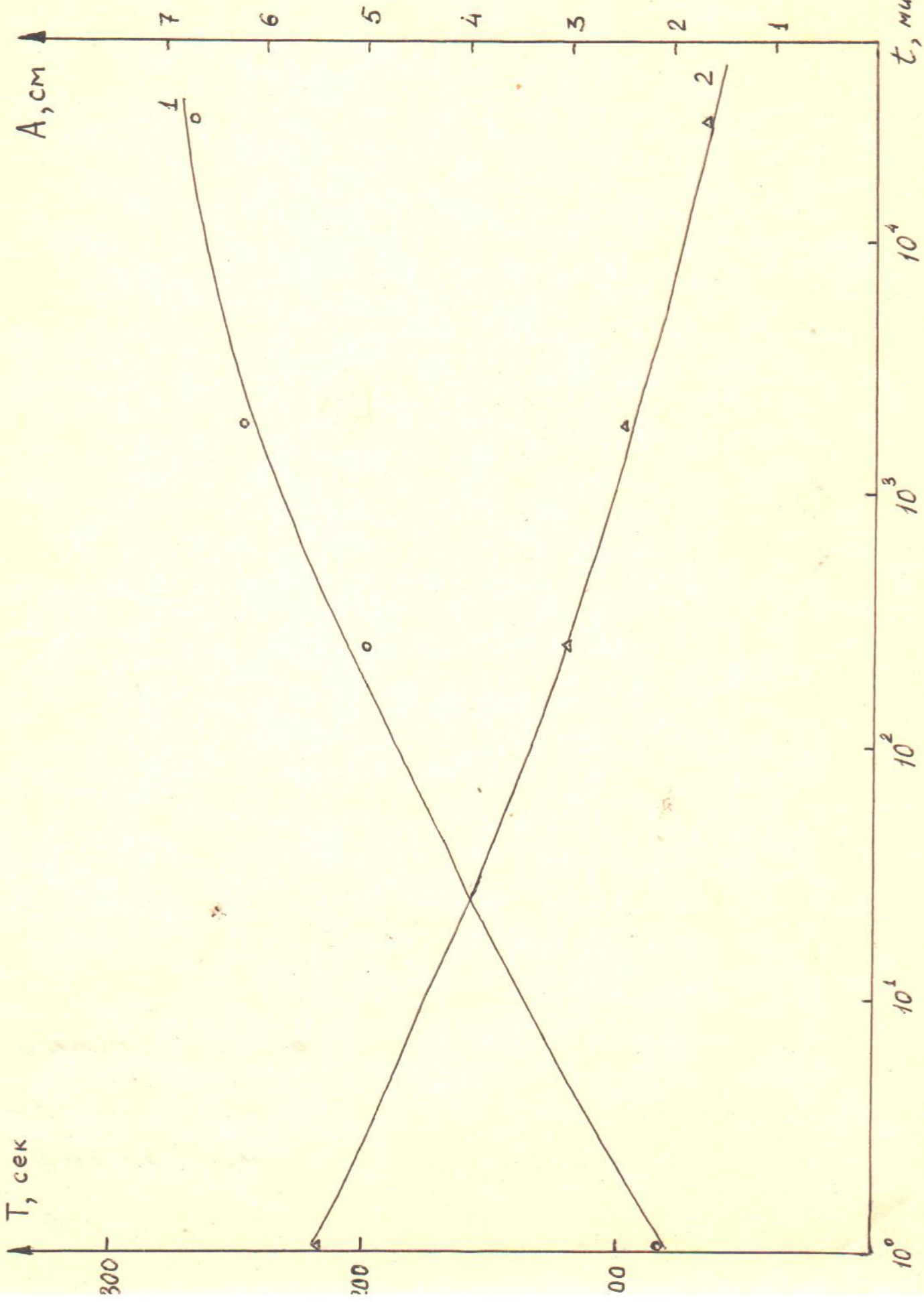


$T$ , сек

300

100

00



## ПОДПИСИ К РИСУНКАМ

Рис. 1. Фотография макроквантовых структур твердого тела.

Рис. 2. Зависимости диаметра первого ( меньшего ) кольца макроквантовых структур от времени: а) при вращении твердого тела ( свинцового конуса ). В момент времени  $t_a$  остановка вращения тела. б) Через 20 суток после остановки вращения свинцового конуса. в) Для вращающихся свинцового ( кривая I ) и никелевого ( кривая 2 ) образцов. г) При помещении между вращающимся свинцовым конусом и камерой латунного экрана толщиной  $\Delta_3 = 11$  см. д) При помещении вращающегося конуса в соленоидальное магнитное поле с напряженностью  $H = 2,2 \cdot 10^3$  а/м в камере в плоскости прохождения светового потока.

Рис 3. Зависимость периода ( кривая I ) и амплитуды ( кривая 2 ) колебаний диаметра первого кольца структур свинцового конуса от времени для первой гармоники после остановки его вращения.